

05

©1993

**ФАЗОВЫЙ ПЕРЕХОД ПРИ  $T = 250-260$  К  
В ПОРОШКООБРАЗНОМ  $C_{60}$  (ТЕМПЕРАТУРА,  
ЭНТАЛЬПИЯ И ЭНТРОПИЯ ПЕРЕХОДА)**

*В.М. Егоров, В.В. Шпейzman, И.Н. Кременская*

В последние годы проводились интенсивные исследования нового материала, называемого фуллереном, проявляющего проявляющего комплекс необычных и перспективных для прикладных задач свойств. В области температур ( $\Delta T = 220-400$  К) многоатомные молекулы  $C_{60}$  образуют две кристаллические фазы: при температурах ниже 260 К фазу с примитивной кубической (ПК) решеткой, где базис элементарной ячейки содержит четыре молекулы  $C_{60}$  [1] при температурах 250–260 К в фуллерене наблюдается фазовый переход первого рода, обусловленный трансформацией примитивной кубической ячейки (ПК) в плотноукачиванную ГЦК фазу и связанный с фиксацией ориентаций отдельных кластеров [2–4]. Его легко обнаружить как по сужению выше точки перехода линий спектра ЯМР, так и по убыванию интенсивности пиков дифракционного рассеяния, запрещенных в ГЦК фазе. При фазовом переходе постоянная решетки фуллерена почти не изменяется [5].

Тепловые свойства кристаллов  $C_{60}$  исследовались в работах [6, 7]. Однако, такие важные характеристики перехода при  $T = 250-260$  К, как истинная температура, энталпия и энтропия установлены не были. В настоящей работе приведены изменения температурной зависимости теплоемкости кристаллов  $C_{60}$  в области  $\Delta T = 220-400$  К, установлены перечисленные выше параметры фазового перехода при  $T = 250-260$  К.

Исследовался порошкообразный  $C_{60}$ , полученный по методу [8]. Измерения тепловых эффектов проводилось на дифференциальном калориметре DSC-2 Perkin-Elmer. Температурная шкала калибровалась по точке плавления индия (430 К) и точке замерзания дистиллированной воды. При измерениях порошкообразной  $C_{60}$  помещался в алюминиевую капсулу и нагревался или охлаждался вместе с эталоном (кристаллом корунда), помещенным в эталонную камеру, с постоянной скоростью при этом регистрировалась энергия, необходимая для поддержания в них одинаковой

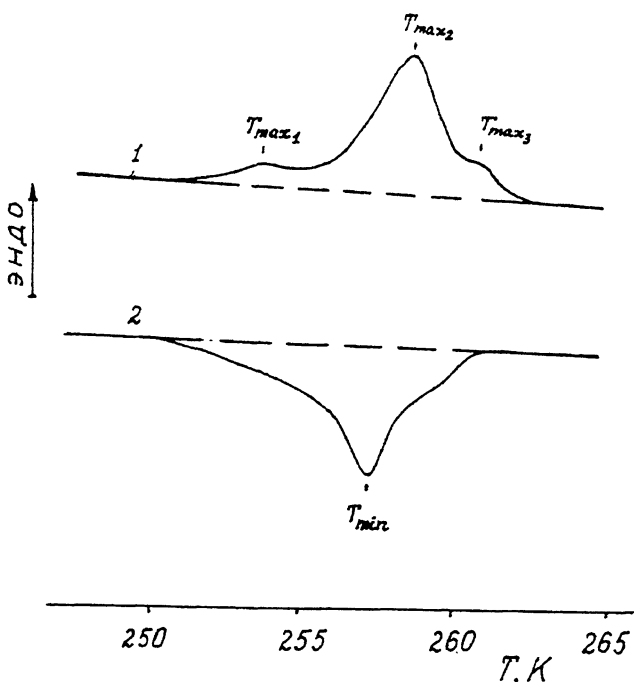


Рис. 1. Кривые ДСК образца  $C_{60}$  ( $m = 14.8$  мг) при нагревании (1) и охлаждении (2) со скоростью  $V = 0.62$  К/мин.

температуры. Измерения проводились при нагревании и при охлаждении со скоростью до 10 до 0.3 К/мин.

Результаты измерений показали, что в области температур 220–400 К существует температурный диапазон  $\Delta T = 250$ –260 К, в котором при нагревании наблюдаются эндотермический, а при охлаждении — экзотермический тепловые эффекты (рис. 1). Величины их не зависят от скорости охлаждения или нагревания и равны  $\Delta H = \pm 8.6$  Дж/г.

Оказалось, что при охлаждении и при нагревании существует значительная разница между значениями температур, соответствующих экстремумам на кривых эндо- и экзопроцессов. Эта разница изменяется с изменением скорости (рис. 2). Наблюдаемый гистерезис может быть связан с гистерезисом фазового перехода и с тепловой инерционностью прибора.

Для устранения методического фактора, связанного с тепловой инерционностью прибора и определения возможного гистерезиса фазового перехода, рассмотрим подробнее методические причины смещения экзо- и эндопиков на кривых ДСК.

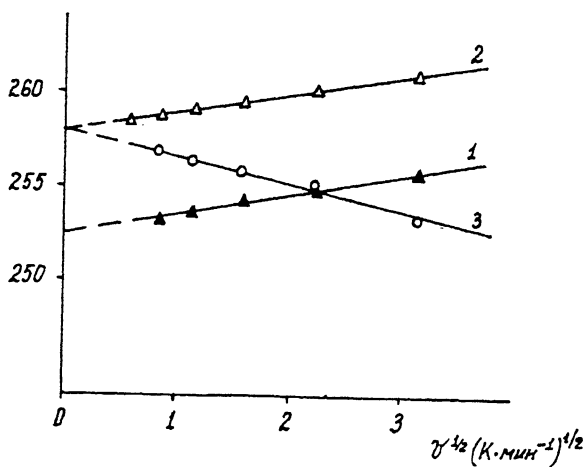
$T_{\max 1}, T_{\max 2}, T_{\min}$ 

Рис. 2. Зависимости  $T_{\max 1}$  (кривая 1),  $T_{\max 2}$  (2) и  $T_{\min}$  (3) от скорости нагревания образца  $C_60$ . (Обозначения см. на рис. 1).

В отличие от суммарного теплового эффекта, равного  $\Delta H$ , вне зависимости от условий испытания и скорости нагревания или охлаждения, температура экстремума эндотермы или экзотермы перехода  $T_{\text{extr}}$  всегда отличается от истинной температуры перехода  $T_{\text{tr}}$ . Обусловлено это наличием термического сопротивления  $R$ , которое приводит к термическому запаздыванию — отставанию температуры образца от температуры нагревателя на величину  $\Delta T = T_{\text{extr}} - T_{\text{tr}}$ . Из работы [9] следует, что при переходе чистых веществ ошибка  $\Delta T$  пропорциональна скорости нагревания (охлаждения)  $V$ , удельной теплоте перехода  $\Delta H$ , массе образца  $m$  и термическому сопротивлению  $R$ :

$$\Delta T = (2m\Delta HRV)^{1/2}.$$

Видно, что при постоянном  $R$  и образцах одинаковой массы ожидается линейная зависимость  $\Delta T(V^{1/2})$ . При  $V \rightarrow 0$  разность  $\Delta T \rightarrow 0$  и  $T_{\text{extr}} \rightarrow T_{\text{tr}}$ . Следовательно, экстраполяция линейной зависимости  $T_{\text{extr}}(V^{1/2})$  к нулевой скорости нагревания дает значение  $T_{\text{tr}}$ .

Как видно из рис. 1, эндотермический процесс (при нагревании образца) проявляется сложным образом и состоит из трех перекрывающихся пиков, температуры экстремумов которых можно определить только для двух пиков ( $T_{\max 1}$  и  $T_{\max 2}$ ). Третий пик, экстремум которого условно обозначен на рис. 1 при  $T_{\max 3}$ , выделить с достаточной степенью точ-

ности, при которой имеет смысл процедура экстраполяции линейной зависимости  $\Delta T(V^{1/2})$ , невозможно.

На рис. 2 представлены зависимости температур максимумов  $T_{\max 1}$  и  $T_{\max 2}$  эндотермических пиков фазового перехода от  $V^{1/2}$  для образца  $C_{60}$ . Видно, что экспериментальные точки для  $T_{\max 1}$  и  $T_{\max 2}$  ложатся на прямые (1 и 2), а экстраполяция их к нулевой скорости нагревания дает истинные температуры  $T_{tr1} = 252.6$  К и  $T_{tr2} = 258$  К. Точность экстраполяции линейной зависимости  $\Delta T(V^{1/2})$  при использовании указанного набора скоростей нагревания (охлаждения) составляет  $\pm 0.2$  К. Точность определения температуры максимума третьего пика невелика, поэтому для  $T_{tr3}$  можно указать только температурный диапазон 259–261 К, в пределах которого находится истинная температура максимума третьего пика.

Экзотермический процесс при охлаждении также проявляется сложным образом и состоит, по-видимому, как и в случае эндотермического процесса при нагревании, из трех перекрывающихся пиков. В этом случае наблюдается еще большая размытость пиков и надежно выделить можно только центральный пик с температурой в точке минимума  $T_{min}$ . Экспериментальные точки функции  $T_{min}(V^{1/2})$  дают линейную зависимость (рис. 2, кривая 3), экстраполяция которой к нулевой скорости охлаждения дает истинную температуру фазового перехода при охлаждении  $T_{tr} = 258$  К, равную в пределах ошибки измерения ( $\pm 0.2$  К) температуре фазового перехода при нагревании  $T_{tr2}$ .

Таким образом, наблюдаемое различие в температурах перехода при нагревании и охлаждении оказывается связанным с методической причиной — тепловой инерционностью прибора, а фазовый переход (его центральный пик) — гистерезиса при термоциклировании не имеет.

Известно [10, 11], что в кристаллах  $C_{60}$  существует три неэквивалентных положений атомов углерода. При  $T = 300$  К молекулы  $C_{60}$  в кристаллической решетке находятся в состоянии очень быстрого вращения между этими положениями, неэквивалентными по симметрии. При нормальных температурах это вращение не позволяет говорить об определенной ориентации отдельной молекулы в твердом теле [12]. По оценкам из данных ЯМР частоты вращения при  $T = 300$  составляют около  $10^{12}$  с<sup>-1</sup>. Считается, что характер этого ротационного движения не непрерывный, скорее это быстрые прыжки молекул между ориентационно различными состояниями. Молекулы удерживаются в кристаллической решетке за счет Ван-дер-Ваальсова взаимодействия (как, например, в кристаллах инертных газов). Соответствую-

щая им энергия межмолекулярного взаимодействия мала, и в этой кристаллической фазе всегда присутствует беспорядок. Видимо, энергия образования дефектов в твердом фуллерене чрезвычайно мала [13].

Относительно природы наблюдаемого сложного фазового перехода известно, что при  $T < T_{tr}$  в кристаллах фуллерена наблюдается фиксация ориентаций отдельных кластеров  $C_{60}$  [2–4]. Можно предположить, что наблюдаемый в настоящей работе трехстадийный экзотермический процесс при охлаждении связан с “замораживанием”, а при нагревании с “размораживанием” вращательного движения отдельных кластеров  $C_{60}$ . Узкий температурный интервал  $\Delta T \approx 10$  К, в котором происходит этот процесс, указывает на небольшие различия в энергетических барьерах, отделяющих состояния с различной ориентацией молекул  $C_{60}$ . В то же время сильное различие в интенсивности пиков (величина энталпии центрального пика составляет  $0.9\Delta H_{tr}$ ) указывает на различную заселенность этих состояний, по-видимому, одно из ориентационно фиксируемых состояний является преобладающим.

Таким образом, в диапазоне температур  $\Delta T = 250–260$  К обнаружен обратимый в процессе термоциклирования фазовый переход, состоящий из трех перекрывающихся экзо- или эндотермических пиков, суммарная энталпия которых составила  $\Delta H = \pm 8.6$  Дж/г. Тепловой эффект имеет устойчивые экстремумы при температурах 253, 258 и 260 К, соответствующих истинным температурам фазового перехода. Суммарная энтропия перехода равна  $\Delta S = 24.0$  Дж/моль град.

### Список литературы

- [1] Sachidanandam R., Harris A.B. // Phys. Rev. Lett. 1991. V. 67. N 11. P. 1467–1468.
- [2] Tycko R., Dabbagh G., Fleming R.M., Haddon R.C., Makhija A.V., Zahurak S.M. // Phys. Rev. Lett. 1991. V. 67. N 14. P. 1886–1889.
- [3] Gunnarsson O., Satpathy S., Jepsen O., Andersen O.K. // Phys. Rev. Lett. V. 67. N 21. P. 3002–3006.
- [4] Heiney P.A., Fisher J.E., McChie A.R., Romanow W.J., Denenstein A.M., McCauley J.P., Smith A.B., Cox D.E. // Phys. Rev. Lett. 1991. V. 66. N 22. P. 2911–2914.
- [5] Shi X.D., Kortan A.R., Williams J.M., Kini A.M., Savall B.M., Chaikin P.M. // Phys. Rev. Lett. 1972. V. 68. N 6. P. 827–830.
- [6] Lundin A., Sundqvist B., Skoglund P., Fransson A., Pettersson S. // Solid State Commun. 1992. V. 68. N 9. P. 879–883.
- [7] Steele W.V., Chirico R.D., Smith N.K., Billups W.E., Elmore P.R., Wheeler A.E. // J. Phys. Chem. 1992. V. 96. N 12. P. 4731–4733.
- [8] Krätschmer M., Lamb L.D., Fostiropoulos K., Huffman D.R. // Nature. 1990. V. 347. P. 354–358.
- [9] Peters K. // Europ. Polym. J. 1974. V. 10. P. 911–916.

- [10] *Hawkins J.M., Meyer A., Lewis T.A., Loren S., Hollander F.G.* // Schience. 1991. V. 252. P. 312–313.
- [11] *Benning P.J., Poirier D.M., Ohno T.R., Chen J., Jost M.B., Stepniak F., Kroll G.H., Weaver J.H., Fure J., Smalley R.E.* // Phys. Rev. 1992. V. 45. N 12. P. 6899–6913.
- [12] *Gelfand M.P., Lu J.P.* // Phys. Rev. Lett. 1992. V. 68. N 7. P. 1050–1053.
- [13] *Li J.Q., Zhao Z.X., Zhu D.B., Gan Z.Z., Yin D.L.* // Appl. Phys. Lett. 1991. V. 59. N 24. P. 3108–3109.

Физико-технический институт  
им. А.Ф.Иоффе РАН  
G.-Петербург

Поступило в Редакцию  
17 августа 1993 г.

---